

Федеральное государственное бюджетное  
образовательное учреждение высшего  
профессионального образования «Московский  
государственный университет имени М.В.Ломоносова»

## Задание №2, вариант №16 по курсу "Основы математического моделирования"

Михайлов Павел Олегович

студент 316 группы

Кафедра физики полупроводников и криоэлектроники

Преподаватель:

Буткарев Иван Андреевич

Физический факультет, 2021 г.

# Содержание

<b>Постановка задачи</b> . . . . .	<b>3</b>
<b>Аналитическое решение</b> . . . . .	<b>3</b>
1. Исследование характеристик . . . . .	3
2. Нахождение аналитического решения . . . . .	3
<b>Численное решение</b> . . . . .	<b>6</b>
1. Методика численного решения . . . . .	6
2. Порядок аппроксимации . . . . .	8
3. Исследование на устойчивость . . . . .	8
<b>Графики</b> . . . . .	<b>10</b>
1. Графики численного и аналитического решений, по- грешности численного решения . . . . .	10
2. Зависимость погрешности от шага сетки в выбранном узле . . . . .	10
<b>Код программы</b> . . . . .	<b>13</b>

## Постановка задачи

Используя схему бегущего счета и итерационные методы, решить задачу:

$$\begin{cases} \frac{\partial U}{\partial t} - \frac{\partial U}{\partial x} = 1 - e^{t+U}, & -1 \leq x < 0, t > 0 \\ U(x, 0) = \ln \left( \frac{2}{1-2x} \right), \\ U(0, t) = \ln \left( \frac{2}{e^t - 2t e^{-t}} \right) \end{cases} \quad (1)$$

## Аналитическое решение

### 1. Исследование характеристик

Сразу можно отметить, что при значениях  $x = 0$ ,  $t = 0$  из  $U(0, 0) = \ln(2)$  для ГУ и НУ. Таким образом, начальное и граничное условия согласованы.

Составим уравнение характеристик и проверим, будут ли пересекаться характеристики:

$$dt = -dx = \frac{dU}{1 - e^{t+U}} \quad (2)$$

Проинтегрировав это уравнение, приходим к семейству характеристик:

$$x + t = C_1 \quad (3)$$

где  $C$  - произвольная постоянная. Таким образом, видно, что семейство характеристик представляет собой множество параллельных прямых. Графическое представление семейства характеристик представлено на рис. [1](#).

Поскольку пересечений нет, то в каждой точке рассматриваемой области решение единственно.

### 2. Нахождение аналитического решения

Для нахождения аналитического решения нужно найти второй первый интеграл.

$$dt = \frac{dU}{1 - e^{t+U}} \quad (4)$$

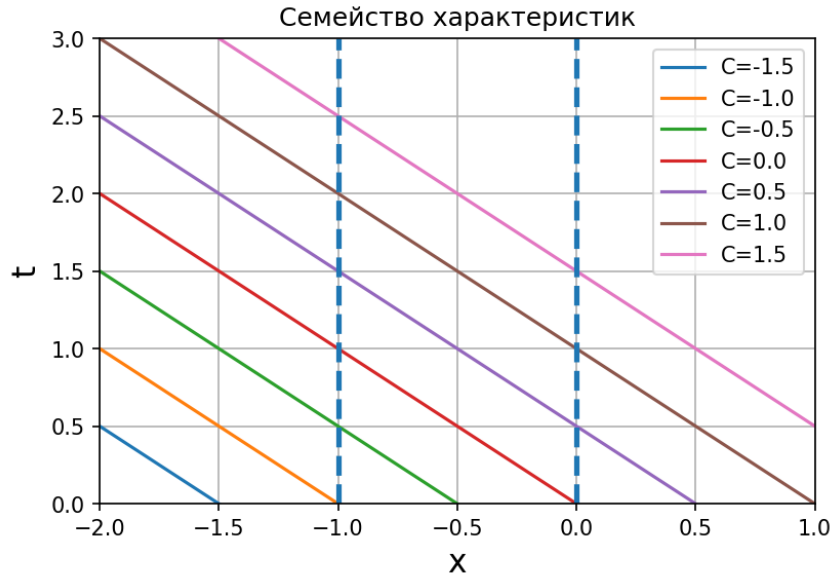


Рис. 1: График семейства характеристик  $x + t = C$

Для решения этого дифференциального уравнения можно сделать замену, например, такую:

$$y = e^{t+U} \Rightarrow dU = d(-t + \ln(y)) = -dt + \frac{dy}{y} \quad (5)$$

Тогда получим:

$$\begin{aligned} dt &= \frac{-dt + \frac{dy}{y}}{1-y} \Rightarrow \\ \Rightarrow dt &= \frac{-dt}{1-y} + \frac{dy}{y(1-y)} \end{aligned} \quad (6)$$

После преобразований:

$$dt = \frac{dy}{y(2-y)} = dy \left( \frac{1}{y} + \frac{1}{2-y} \right) \frac{1}{2} \quad (7)$$

Проинтегрировав, приходим к выражению:

$$\begin{aligned} 2t + C_2 &= \ln(y) - \ln(2-y) \Rightarrow \frac{y}{2-y} = 2t + C_2 \Rightarrow \\ \Rightarrow y &= \frac{2C_2 e^{2t}}{1 + C_2 e^{2t}} = e^{t+U} \Rightarrow U = \ln \left( \frac{2C_2 e^t}{1 + C_2 e^{2t}} \right) \end{aligned} \quad (8)$$

Запишем граничные условия для характеристик:

$$\begin{cases} t = C_1 > 0 \\ U = \ln \left( \frac{2C_2 e^{C_1}}{1 + C_2 e^{2C_1}} \right) = \ln \left( \frac{2}{e^{C_1} - 2C_1 e^{-C_1}} \right) \end{cases} \quad (9)$$

Таким образом, при  $C_1 > 0$  из нижнего соотношения получаем:

$$\frac{C_2}{1 + C_2 e^{C_1}} = \frac{1}{e^{2C_1} - 2C_1 e^{C_1}} \Rightarrow C_2 = -\frac{1}{2C_1} \quad (10)$$

Аналогично запишем начальные условия:

$$\begin{cases} x = C_1 \in [-1, 0] \\ U = \ln \left( \frac{2C_2}{1 + C_2} \right) = \ln \left( \frac{2}{1 - 2C_1} \right) \end{cases} \quad (11)$$

При  $C_1 \in [-1, 0]$  из нижнего соотношения получаем:

$$\frac{C_2}{1 + C_2} = \frac{1}{1 - 2C_1} \Rightarrow C_2 = -\frac{1}{2C_1} \quad (12)$$

Таким образом, можно сделать вывод, что:

$$C_2 = -\frac{1}{2C_1}, \quad C_1 \in [-1, +\infty) \quad (13)$$

то есть во всей рассматриваемой области. Поскольку в самой области верно, что  $C_1 = x + t$ , то аналитическое решение поставленной задачи имеет вид:

$$U = \ln \left( \frac{-2 \frac{1}{2(x+t)} e^t}{1 - \frac{1}{2(x+t)} e^{2t}} \right), \quad -1 \leq x < 0, \quad t > 0 \quad (14)$$

Или это выражение можно записать в виде, из которого сразу можно видеть соответствие данного решения граничным и начальным условиям задачи:

$$U = \ln \left( \frac{2}{e^t - 2(x+t)e^{-t}} \right), \quad -1 \leq x < 0, \quad t > 0 \quad (15)$$

# Численное решение

## 1. Методика численного решения

Введем равномерную сетку в исследуемой области:

$$\omega = \{x_n = nh, t_k = k\tau, n = \overline{0, N_x}, k = \overline{0, N_t}\} \quad (16)$$

где:

$$h = \frac{1}{N_x}; \tau = \frac{t_2}{N_t}, \text{ где } t_2 - \text{конечное время в нашей области} \quad (17)$$

Введем следующие обозначения:

$$\begin{aligned} y_n &= U(x_n, t_k) \\ \hat{y}_n &= U(x_n, t_{k+1}) \end{aligned} \quad (18)$$

Заданное уравнение переноса является дифференциальным уравнением в частных производных первого порядка. Поэтому для его решения необходим шаблон перехода, в котором задействованы два слоя по координате и два слоя по времени. Существует несколько вариантов выбора такого шаблона. В данной работе был использован шаблон, представленный на рис.2. Запишем конечно-разностную аппроксимацию заданного уравнения переноса с использованием выбранного шаблона:

$$\frac{\hat{y}_{n+1} - y_{n+1}}{\tau} - \frac{\hat{y}_{n+1} - \hat{y}_n}{h} = 1 - e^{t_{k+1}} + \hat{y}_{n+1}, \quad n = \overline{0, N_x - 1}, k = \overline{0, N_t - 1} \quad (19)$$

Таким образом, мы приходим к разностной схеме:

$$\begin{cases} \frac{\hat{y}_{n+1} - y_{n+1}}{\tau} - \frac{\hat{y}_{n+1} - \hat{y}_n}{h} = 1 - e^{t_{k+1}} + \hat{y}_{n+1}, & n = \overline{0, N_x - 1}, k = \overline{0, N_t - 1} \\ y_n^0 = \ln\left(\frac{2}{1 - 2x_n}\right) & n = \overline{0, N_x}, \text{ НУ} \\ y_0^k = \ln\left(\frac{2}{e^{t_k} - 2t_k e^{-t_k}}\right) & k = \overline{0, N_t}, \text{ ГУ} \end{cases} \quad (20)$$

Для решения данного уравнения будет использоваться метод Ньютона. Суть этого метода можно изложить в следующем виде.

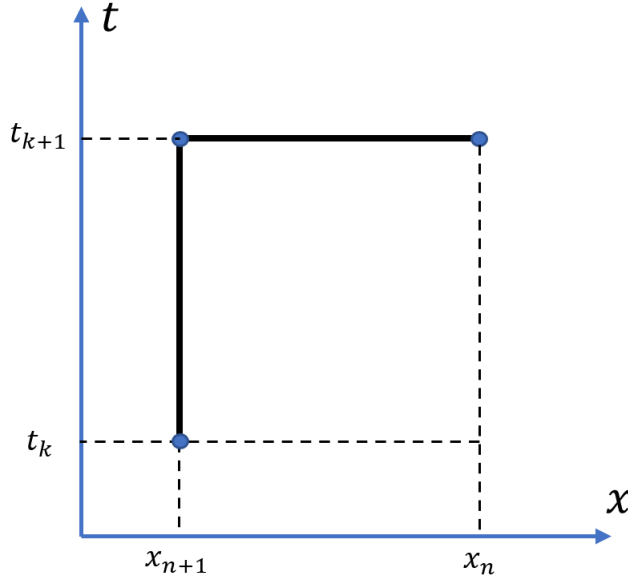


Рис. 2: Шаблон, примененный в данной задаче. Обратите внимание, что шаблон записан для отрицательных  $x$ , которые и рассматриваются в нашей задаче.

Запишем наше уравнение в виде:  $f(\hat{y}_{n+1}) = 0$ . Решение происходит итерационно. На самом первом шаге нам известно некоторое начальное значение (приближение)  $y^0$ . Далее по этому значению вычисляются значения всех следующих приближений как:

$$y^{m+1} = y^m - \frac{f(y^m)}{f'(y^m)} \quad m = 0, 1, \dots \quad (21)$$

Условие прекращения итерационного процесса выбирается самим исследователем. Можно выбрать такое условие:

$$|y^{m+1} - y^m| < \varepsilon ; m = 0, 1, \dots \quad (22)$$

где  $\varepsilon$  - значение допустимой ошибки вычислений. Распишем подробнее функции  $f(\hat{y}_n)$  и  $f'(\hat{y}_n)$  в виде, в котором они применены в этой задаче:

$$\begin{aligned} f(\hat{y}_{n+1}) &= \frac{\hat{y}_{n+1} - y_{n+1}}{\tau} - \frac{\hat{y}_{n+1} - \hat{y}_n}{h} + e^{t_{k+1}} + \hat{y}_{n+1} - 1 = 0 , \\ f'(\hat{y}_{n+1}) &= \frac{1}{\tau} - \frac{1}{h} + e^{t_{k+1}} + \hat{y}_{n+1} \end{aligned} \quad (23)$$

Таким образом, в данной задаче в качестве  $y^m$  выбираются значения  $\hat{y}_{n+1}$  и схема бегущего счёта в данной задаче состоит в последовательном вычислении значения функции  $y$  во всех узлах сетки.

При этом можно заметить, что в написанных выше уравнениях нам известны  $y_{n+1}$  и  $\hat{y}_n$  как значения на предыдущем шаге или как начальные и граничные условия. Таким образом, происходит расчёт значений  $y$  во всех узлах сетки.

## 2. Порядок аппроксимации

Найдем порядки аппроксимации по  $\tau$ ,  $h$ . Рассмотрим действие оператора производной по  $t$  на непрерывную функцию  $U(x)$ :

$$\begin{aligned} L_\tau U(x, t) &= \frac{U(x, t + \tau) - U(x, t)}{\tau} = \\ &= \frac{1}{\tau} \left( U(x, t) + \tau \frac{\partial U(x, t)}{\partial t} + \frac{\tau^2}{2} \frac{\partial^2 U(x, t)}{\partial t^2} - U(x, t) \right) = \\ &= \frac{\partial U(x, t)}{\partial t} + O(\tau) \end{aligned} \tag{24}$$

Абсолютно аналогичные выкладки можно проделать и для оператора производной по  $x$ . Таким образом, схема имеет первый порядок аппроксимации по координате  $x$  и времени  $t$ .

## 3. Исследование на устойчивость

Спектральным методом Неймана исследуем условие устойчивости схемы 20. Будем рассматривать разностную задачу с однородным уравнением (заменяем  $y$  на  $V_n^k$  для удобства):

$$\begin{cases} \frac{V_{n+1}^{k+1} - V_{n+1}^k}{\tau} - \frac{V_{n+1}^{k+1} - V_n^{k+1}}{h} = 0, & n = \overline{0, N_x - 1}, k = \overline{0, N_t - 1} \\ V_n^0 = e^{i\omega n} & n = \overline{0, N_x} \end{cases} \tag{25}$$

Будем искать решение этой системы в виде:

$$V_n^k = \lambda^k e^{i\omega n} \tag{26}$$

Такой вид решения подставляется в разностное уравнение, далее это уравнение сокращается на  $V_n^k$  и экспоненты. Приходим к уравнению:

$$\frac{\lambda - 1}{\tau} - \lambda \frac{1 - e^{-i\omega}}{h} = 0 \tag{27}$$



Отсюда можно получить, что:

$$\lambda = \frac{1}{1 - \frac{\tau}{h} (1 - e^{-i\omega})} \quad (28)$$

Вычислим модуль этой величины

$$\begin{aligned} |\lambda| &= \frac{1}{\left| 1 - \frac{\tau}{h} (1 - e^{-i\omega}) \right|} = \frac{1}{\left| 1 - \frac{\tau}{h} (1 - \cos(\omega) + i \sin(\omega)) \right|} = \\ &= \frac{1}{\left| 1 - \frac{\tau}{h} (1 - \cos(\omega)) - i \frac{\tau}{h} \sin(\omega) \right|} = \\ &= \frac{1}{\sqrt{\left(\frac{\tau}{h}\right)^2 \sin^2(\omega) + \left(1 - \frac{\tau}{h} (1 - \cos(\omega))\right)^2}} = \\ &= \frac{1}{\sqrt{\left(\frac{\tau}{h}\right)^2 \sin^2(\omega) + \left(1 + \frac{\tau}{|h|} (1 - \cos(\omega))\right)^2}} \end{aligned} \quad (29)$$

Проанализируем полученное соотношение. Можно заметить, что:

$$(1 - \cos(\omega)) \geq 0 \quad \forall \omega \quad (30)$$

И поэтому:

$$|\lambda| \leq 1 \quad (31)$$

Таким образом, наша схема является безусловно устойчивой.

Также существует геометрическая интерпретация устойчивости схемы бегущего счёта. Суть этой интерпретации может быть изложена следующим образом.

Рассмотрим уравнение переноса, которое мы решаем:

$$\frac{\partial U}{\partial t} - \frac{\partial U}{\partial x} = 1 - e^{t+U}, \quad -1 \leq x < 0, \quad t > 0 \quad (32)$$

Характеристики данного уравнения:

$$x + t = C \quad (33)$$

Схема будет устойчивой, если характеристика, проведенная через точку, в которой решение ещё не известно (точка  $(n + 1, k + 1)$ ) будет пересекать прямую, соединяющую те точки, в которых решение

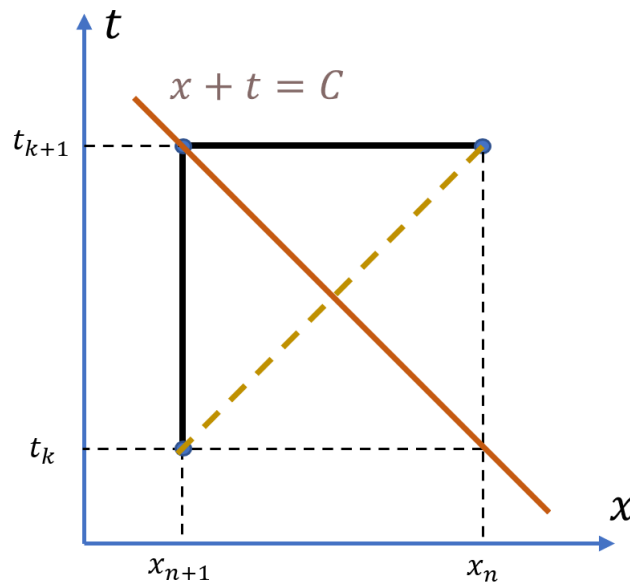


Рис. 3: Геометрическая интерпретация безусловной устойчивости. Показано пересечение характеристики и прямой, соединяющей два узла с известными значениями сеточной функции.

уже известно (точки  $(n, k + 1)$  и  $(n + 1, k)$ ). Это схематически показано на рис.3.

Видно, что характеристика пересекает соединительную прямую между узлами с известными значениями сеточной функции. Поэтому схема является устойчивой.

## Графики

1. Графики численного и аналитического решений, погрешности численного решения
2. Зависимость погрешности от шага сетки в выбранном узле

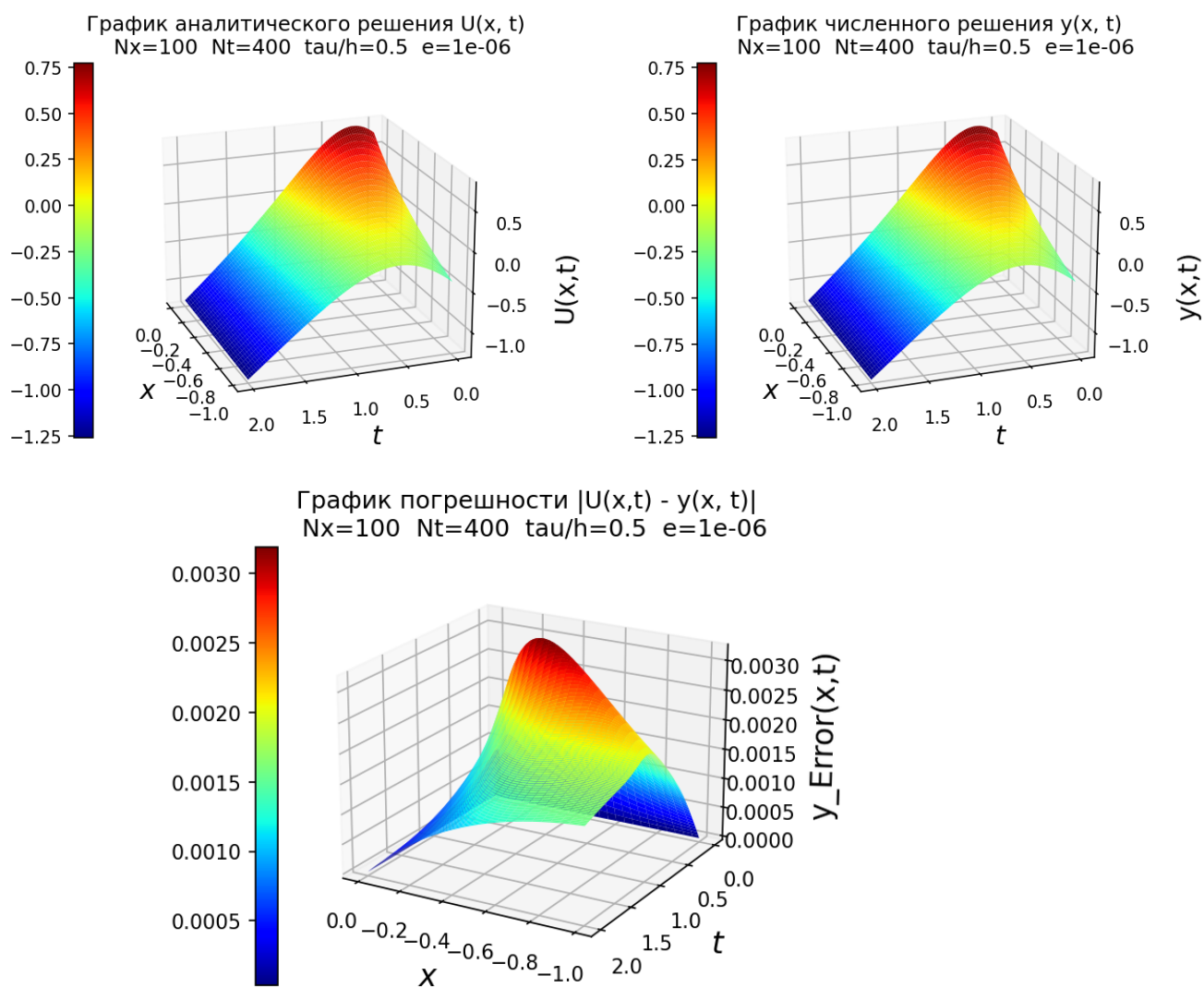


Рис. 4: Графики аналитического и численного решений, погрешности.

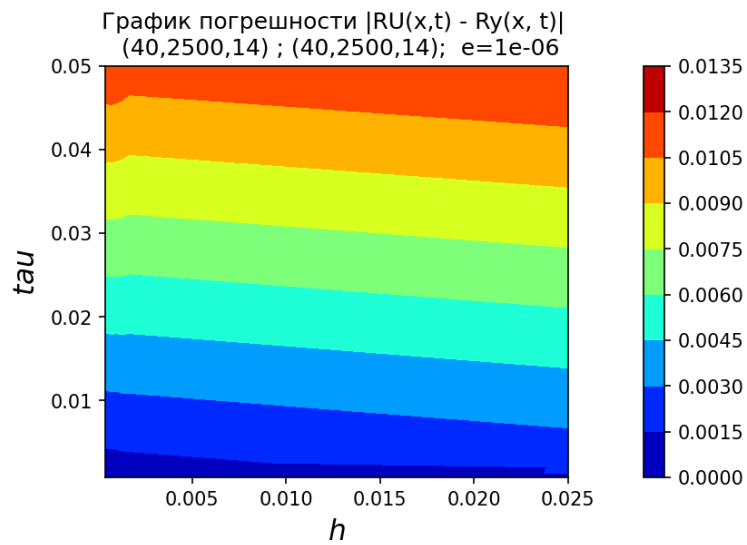


Рис. 5: Зависимость погрешности в узле  $(N_x-1, N_t-1)$  от величин шагов по времени и координате.

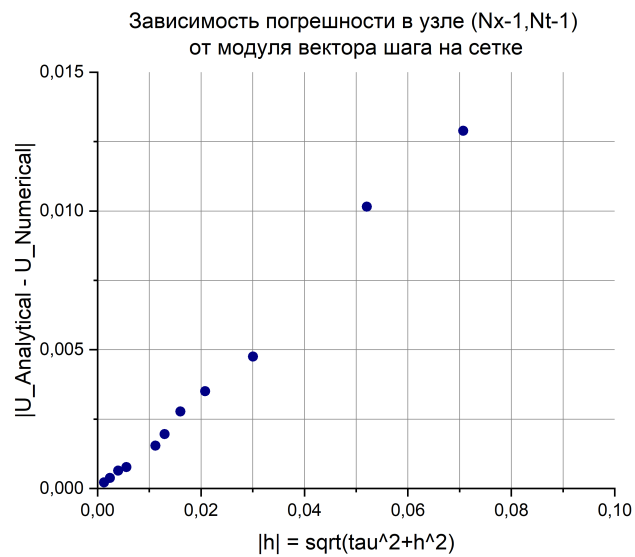


Рис. 6: Зависимость погрешности в узле  $(N_x-1, N_t-1)$  от модуля вектора шага сетки

# Код программы

```
1 # -*- coding: utf-8 -*-
2 """
3 Created on Sat Apr 10 22:47:19 2021
4
5 @author: PolМихайлов( Павел 316 группа, задача 2 вариант 16)
6
7 """
8
9
10 from matplotlib import cm
11 import matplotlib.pyplot as plt
12 import matplotlib as mpl
13 import numpy as np
14 import pylab
15
16
17
18 "1. Построение характеристик для задачи"
19 x1, x2 = -2, 1
20 t1, t2 = 0, 2
21 NC=2
22
23
24 plt.ylim(t1,t2)
25 plt.xlim(x1,x2)
26 plt.ylabel('t', size = 15)
27 plt.xlabel('x', size = 15)
28 plt.grid(True)
29 plt.title('Семейство характеристик')
30 for C in range(-NC-1,NC+2,1):
31     plt.plot([x1,x2], [-x1 + C/NC, -x2 + C/NC], label='C='+str(
32         round(C/NC,2)))
33 plt.axvline(x=-1.0, linewidth = 2.5, linestyle = '--')
34 plt.axvline(x=0.0, linewidth = 2.5, linestyle = '--')
35 plt.legend()
36 mpl.rcParams['figure.dpi'] = 150
37 plt.show()
38
39
40 "2. Зададим число шагов по временной и пространственной координатам"
41 x1, x2 = -1, 0
42 t1, t2 = 0, 2
43 Nx = 100
44 Nt = 400
45 e = 0.000001 #Погрешность для метода Ньютона
46
47 h = -(x2 - x1)/Nx
48 tau = (t2 - t1)/Nt
49 x = np.linspace(x2, x1, Nx)
50 t = np.linspace(t1, t2, Nt)
51
52
```

```

53
54 "3. Зададим массив для нашей сеточной функции, определим граничные начальные /
    условия"
55 y = np.zeros((Nx, Nt))
56 for n in range(0, Nx): #Начальное условие
57     y[n][0] = np.log(2/(1 - 2*x[n]))
58
59 for k in range(0, Nt): #Граничное условие
60     y[0][k] = np.log(2/(np.exp(t[k]) - 2*t[k]*np.exp(-t[k])))
61
62
63
64 "4. Задание функций f и f' "
65 def f(n, k):
66     return 1/tau * (y[n+1][k+1] - y[n+1][k]) - 1/h * (y[n+1][k+1] -
67     y[n][k+1]) + np.exp(t[k+1] + y[n+1][k+1]) - 1
68
69 def fd(n, k):
70     return 1/tau - 1/h + np.exp(t[k+1] + y[n+1][k+1])
71
72
73 "5. Реализация метода Ньютона"
74 for n in range(0, Nx-1):
75     for k in range(0, Nt-1):
76         y[n+1][k+1] = 0.5*(y[n+1][k] + y[n][k+1]) #Приближение для
            следующего шага
77         while(np.abs(f(n, k) / fd(n, k)) > e):
78             y[n+1][k+1] = y[n+1][k+1] - f(n, k) / fd(n, k)
79
80
81
82 "6. Аналитическое решение"
83 U = np.zeros((Nx, Nt))
84 for n in range(0, Nx):
85     for k in range(0, Nt):
86         U[n][k] = np.log(2/(np.exp(t[k]) - 2*(x[n]+t[k])*np.exp(-t[
            k]))))
87
88
89
90 "7. Построение аналитического решения"
91 T, X = np.meshgrid(t, x)
92 fig = plt.figure()
93 axes = fig.add_subplot(111, projection='3d')
94
95 surf = axes.plot_surface(X, T, U[:, :, :], rstride=4, cstride=4, cmap =
            cm.jet)
96 pylab.xlabel('$x$', size=15, labelpad = 5)
97 plt.xticks(rotation = 0)
98 pylab.ylabel('$t$', size=15, labelpad = 5)
99 plt.yticks(rotation = 0)
100
101 axes.set_zlabel('$U(x,t)$', size = 15, labelpad = 10)
102
103 axes.view_init(20, 160) #поворот графика

```

```

104 fig.colorbar(surf, ax = [axes], pad = 0.05, location='left')
105 plt.title('График аналитического решения  $U(x, t)$  \n Nx=' +str(Nx) + '
      Nt='
106           +str(Nt)+ '   tau/h=' +str(np.abs(tau/h))+ '   e=' +str(e))
107 plt.show()
108
109
110
111 "8. Построение численного решения"
112 T,X = np.meshgrid(t,x)
113 fig = plt.figure()
114 axes = fig.add_subplot(111, projection='3d')
115
116 surf = axes.plot_surface(X, T, y[:, :], rstride=4, cstride=4, cmap
      = cm.jet)
117 pylab.xlabel('$x$', size=15, labelpad = 5)
118 plt.xticks(rotation = 0)
119 pylab.ylabel('$t$', size=15, labelpad = 5)
120 plt.yticks(rotation = 0)
121
122 axes.set_zlabel('y(x,t)', size = 15, labelpad = 10)
123
124
125 axes.view_init(20, 155) #поворот графика
126 fig.colorbar(surf, ax = [axes], pad = 0.05, location='left')
127 plt.title('График численного решения  $y(x, t)$  \n Nx=' +str(Nx) + '   Nt='
      +str(Nt)+ '   tau/h=' +str(np.abs(tau/h))+ '   e=' +str(e))
128
129 plt.show()
130
131
132
133 "9. Построение погрешности решения"
134 T,X = np.meshgrid(t,x)
135 fig = plt.figure()
136 axes = fig.add_subplot(111, projection='3d')
137
138 surf = axes.plot_surface(X, T, np.abs(U[:, :] - y[:, :] ), rstride
      =4, cstride=4, cmap = cm.jet)
139 pylab.xlabel('$x$', size=15, labelpad = 5)
140 plt.xticks(rotation = 0)
141 pylab.ylabel('$t$', size=15, labelpad = 5)
142 plt.yticks(rotation = 0)
143
144 axes.set_zlabel('y_Error(x,t)', size = 15, labelpad = 10)
145
146
147
148 axes.view_init(20, 120) #поворот графика
149 plt.colorbar(surf, ax = [axes], pad = 0.05, location='left')
150 plt.title('График погрешности  $|U(x,t) - y(x, t)|$  \n Nx=' +str(Nx) + '
      Nt='
151           +str(Nt)+ '   tau/h=' +str(np.abs(tau/h))+ '   e=' +str(e))
152 plt.show()
153 print(np.abs(U[Nx-1][Nt-1] - y[Nx-1][Nt-1]))
154 print(np.sqrt(tau*tau+h*h))
155

```

```

156
157
158 "Построение зависимости прогрешности в узле от величины шагов сетки"
159 Nx_1 = 40
160 Nx_2 = 2500
161 Nx_N = 14
162
163 Nt_1 = 40
164 Nt_2 = 2500
165 Nt_N = 14
166
167 Nx = np.linspace(Nx_1, Nx_2, Nx_N)
168 Nt = np.linspace(Nt_1, Nt_2, Nt_N)
169 h = np.zeros((Nx_N))
170 tau = np.zeros((Nt_N))
171
172 for a in range(0, Nx_N):
173     h[a] = (x2 - x1)/Nx[a]
174 for b in range(0, Nt_N):
175     tau[b] = (t2 - t1)/Nt[b]
176
177 Ry = np.zeros((Nx_N, Nt_N))
178 rU = np.zeros((Nx_N, Nt_N))
179
180 for a in range(0, Nx_N):
181     for b in range(0, Nt_N):
182         Ex = np.linspace(x2, x1, int(Nx[a]))
183         Et = np.linspace(t1, t2, int(Nt[b]))
184         Ey = np.zeros((int(Nx[a]), int(Nt[b])))
185         for n in range(0, int(Nx[a])): #Начальное условие
186             Ey[n][0] = np.log(2/(1 - 2*Ex[n]))
187
188         for k in range(0, int(Nt[b])): #Граничное условие
189             Ey[0][k] = np.log(2/(np.exp(Et[k]) - 2*Et[k]*np.exp(-Et
190 [k])))
191
192     "Задание функций f и f' "
193     def Ef(n, k, a, b):
194         return 1/tau[b]*(Ey[n+1][k+1] - Ey[n+1][k]) + 1/h[a]*(
195 Ey[n+1][k+1] - Ey[n][k+1]) + np.exp(Et[k+1] + Ey[n+1][k+1]) - 1
196
197     def Efd(n, k, a, b):
198         return 1/tau[b] + 1/h[a] + np.exp(Et[k+1] + Ey[n+1][k
199 +1])
200
201     "Реализация метода Ньютона"
202     for n in range(0, int(Nx[a])-1):
203         for k in range(0, int(Nt[b])-1):
204             Ey[n+1][k+1] = 0.5*(Ey[n+1][k]+Ey[n][k+1]) #
205             Приближение для следующего шага
206             while(np.abs(Ef(n, k, a, b) / Efd(n, k, a, b)) > e):
207                 Ey[n+1][k+1] = Ey[n+1][k+1] - Ef(n, k, a, b) / Efd
208                 (n, k, a, b)

```



```

207
208     "Аналитическое решение"
209     eU = np.zeros((int(Nx[a]),int(Nt[b])))
210     for n in range(0,int(Nx[a])):
211         for k in range(0,int(Nt[b])):
212             eU[n][k] = np.log(2/(np.exp(Et[k]) - 2*(Ex[n]+Et[k]
213 ])*np.exp(-Et[k])))
214
215     "Выбираем узел, близкий к самой далекой точке от ГУ и НУ"
216     Ry[a][b] = Ey[int(Nx[a]) - 1][int(Nt[b]) - 1]
217     rU[a][b] = eU[int(Nx[a]) - 1][int(Nt[b]) - 1]
218
219 "9. Построение ошибки узла"
220 NT,NX = np.meshgrid(Nt,Nx)
221 fig = plt.figure()
222 axes = fig.add_subplot(111, projection='3d')
223 surf = axes.plot_surface(NX, NT, np.abs(rU[:, :, :] - Ry[:, :, :]),
224     rstride=1, cstride=1, cmap = cm.jet)
225 pylab.xlabel('$h$', size=15, labelpad = 5)
226 plt.xticks(rotation = 0)
227 pylab.ylabel('$\tau$', size=15, labelpad = 5)
228 plt.yticks(rotation = 0)
229 axes.set_zlabel('$|RU - Ry|$', size = 15, labelpad = 10)
230 axes.view_init(20, 130) #поворот графика
231 plt.colorbar(surf, ax = [axes], pad = 0.05, location='left')
232 plt.title('График погрешности $|RU(x,t) - Ry(x, t)|$ в узле \n (' +str(
233     Nx_1) + ', '
234     +str(Nx_2)+', '+str(Nx_N)+'') ; (' +str(Nt_1)+ ', ' +str(
235     Nt_2)+ ', '
236     +str(Nt_N)+''); e=' +str(e))
237 plt.show()
238
239 TAU,H = np.meshgrid(tau,h)
240 plt.contourf(H, TAU, np.abs(rU[:, :, :] - Ry[:, :, :]), cmap = cm.jet)
241 plt.xlabel('$h$', size=15, labelpad = 5)
242 plt.xticks(rotation = 0)
243 plt.ylabel('$\tau$', size=15, labelpad = 5)
244 plt.yticks(rotation = 0)
245 axes.set_zlabel('$|RU - Ry|$', size = 15, labelpad = 10)
246 plt.colorbar(pad = 0.12)
247 plt.title('График погрешности $|RU(x,t) - Ry(x, t)|$ \n (' +str(Nx_1) +
248     ', '
249     +str(Nx_2)+', '+str(Nx_N)+'') ; (' +str(Nt_1)+ ', ' +str(
250     Nt_2)+ ', '
251     +str(Nt_N)+''); e=' +str(e))
252 plt.show()

```

## Список литературы

- [1] Численные методы, Калиткин Н.Н., М.: Издательский центр «Академия», 2013 г.
- [2] Курс лекций «ОСНОВЫ МАТЕМАТИЧЕСКОГО МОДЕЛИРОВАНИЯ», Тихонов Н.А., Токмачев М.Г., Москва, 2012